

# 軸線を含む面に垂直な荷重を受ける連続円形曲り梁の解法

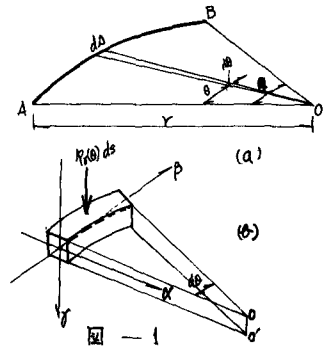
九州大学 正員 山崎徳世

〃 〃 〇袴 木 武

1. 緒言 高速道路、高架鉄道等における曲線橋の中で扇形板と円形曲り梁(以下円梁と称す)とが一体結合した構造物が多く見受けられる。扇形板と円梁とを一体解析するために、その連続条件から両者を同一函数系により解く必要がある。すなわち、扇形板の解が一般に無限級数式で与えられる中、円梁も同じ無限級数式で解かねばならない。また、扇形板の板面に対して垂直な任意荷重が作用する場合には円梁が扇形板から伝えられる諸力はいずれも軸線を含む面に垂直な力およびモーメントである。以上の事実に鑑み、本研究は扇形板と円梁とからなる一体構造物の解法における基礎理論として、軸線を含む面に垂直な荷重を受ける連続円形曲り梁(以下連続円梁と称す)の無限級数式による解法を述べるのである。

## 2 円梁の基礎理論

(1) 円梁の弾性曲線 図-1(a)に示すごとく、断面一樣な円梁の回転中心をO、半径をRおよび開角を $\theta$ とする。基準AOより角度 $\theta$ の位置にある円梁の微小部分dsを取り出せば図-1(b)のごとくなり、これに法線方向を $\alpha$ 軸、接線方向を $\beta$ 軸および断面に直交して $\gamma$ 軸をとり移動座標 $(\alpha, \beta, \gamma)$ を導入する。このとき、円梁の軸線を含む面に垂直な荷重は $\gamma$ 軸方向の荷重 $p(\theta)$ および $\alpha$ 、 $\beta$ 軸を回転軸とするモーメント荷重 $m_\alpha(\theta)$ 、 $m_\beta(\theta)$ である。 $m_\alpha(\theta)$ 、 $m_\beta(\theta)$ については別報告することとし、本講演では $p(\theta)$ のみが円梁に作用する場合について述べることにすれば



円梁の基礎微分方程式は次式で表わすことができる。

$$\frac{d^4 w}{d\theta^4} + 2 \frac{d^2 w}{d\theta^2} + \frac{d^2 w}{d\theta^2} = \frac{r^4}{EI_\alpha} \frac{d^2 p(\theta)}{d\theta^2} - \frac{r^4}{GJ_\beta} p(\theta) \quad \text{こゝに、 } w = \gamma \text{ 軸方向の変位} \quad (1)$$

$EI_\alpha = \alpha$ 軸まわりの曲げ剛性、 $GJ_\beta = \beta$ 軸まわりの捩り剛性

式(1)の全函数を $w$ 、特殊解を $w_0$ とすれば一般解 $w$ は次式で与えられる。  $w = w_1 + w_0 \quad (2)$

全函数 $w$ は式(1)の斉次方程式より次のごとく与えられる。

$$w_1 = C_1 + C_2 \theta + (C_3 + C_4 \theta) \sin \theta + (C_5 + C_6 \theta) \cos \theta \quad \text{こゝに } C_1 \sim C_6 \text{ は積分定数である} \quad (3)$$

他方、特殊解 $w_0$ を求めるために、荷重 $p(\theta)$ が $\theta$ に関する直交函数系 $\xi_n(\theta)$ にて級数展開可能であり、また $w_0$ が $\xi_n(\theta)$ の級数展開式で与えられるものと仮定する。すなわち、

$$p(\theta) = \sum_{n=1}^{\infty} \gamma_n \xi_n(\theta) \quad \text{こゝに } \gamma_n = \frac{1}{N_n} \int_0^\theta p(\theta) \xi_n(\theta) d\theta, \quad N_n = \int_0^\theta \xi_n^2(\theta) d\theta \quad (4)$$

$$w_0 = \sum_{n=1}^{\infty} \omega_n \xi_n(\theta) \quad \text{こゝに } \omega_n = \text{任意定数} \quad (5)$$

すなわち、直交函数系 $\xi_n(\theta)$ を導入し、 $\xi_n(\theta)$ と $\xi_m(\theta)$ との間には次の関係が成立するものとす。

$$\xi_n'(\theta) = R_1 \xi_n(\theta) \quad \xi_n''(\theta) = R_2 \xi_n(\theta) \quad \text{こゝに } R_1, R_2 \text{ は定数} \quad (6)$$

式(4)、(5)および式(6)の関係を式(1)に代入すれば、式(5)に於ける任意定数 $\omega_n$ が未知り次式で与えられる。

$$\omega_n = \frac{r^4}{EI_\alpha} \frac{R_1 R_2 - 1/r^4}{R_1 R_2 (R_1 R_2 + 1)^2} \gamma_n \quad \text{こゝに } \mu = GJ_\beta / EI_\alpha \quad (7)$$

式(7)を式(4)に代入し、その結果を式(2)に代入すると式(1)の一般解が次のごとく与えられる。

$$w = C_1 + C_2\theta + (C_3 + C_4\theta) \sin \theta + (C_5 + C_6\theta) \cos \theta + \frac{r^4}{EI_x} \sum_{n=1}^{\infty} \frac{R_n R_n + 1/\mu}{R_n(R_n R_n + 1)^2} \gamma_n \xi_n(\theta) \quad (8)$$

式(8)により、境界条件を満足するよう $C_1 \sim C_6$ を定めた後、円梁の弾性曲線が明らかとなる。あるいは境界条件を満足するごとく直交関数系 $\xi_n(\theta)$  (一般に三角関数と双曲線関数の和で与えられる)を用いると、式(8)の積分定数 $C_1 \sim C_6$ が11すべし $\theta=0$ となり弾性曲線は式(8)のごとく特殊解のみで表わされる。

$$w = \frac{r^4}{EI_x} \sum_{n=1}^{\infty} \frac{R_n R_n + 1/\mu}{R_n(R_n R_n + 1)^2} \gamma_n \xi_n(\theta) \quad (8')$$

(2) 円梁の諸変位および諸断面力 円梁のたわみ $w$ と他の諸変位および諸断面力との関係は同知のごとく次式で与えられる。

$$\left. \begin{aligned} r\zeta_\alpha &= dw/d\theta, & r(1+1/\mu)\zeta_\beta &= \frac{d^2w}{d\theta^2} + (2 + \frac{1}{\mu}) \frac{dw}{d\theta} - \frac{r^4}{EI_x} \rho_1(\theta) \\ \frac{r^2}{EI_x} M_\alpha &= -(\frac{d^2w}{d\theta^2} - r\zeta_\beta), & \frac{r^2}{EI_x} M_\beta &= -\mu(\frac{dw}{d\theta} + r \frac{d\zeta_\beta}{d\theta}), & \frac{r^3}{EI_x} V_r &= -\frac{dw}{d\theta} + \mu \frac{dw}{d\theta} + r(1+\mu) \frac{d\zeta_\beta}{d\theta} \end{aligned} \right\} \quad (9)$$

こゝに、 $\zeta_\alpha = \alpha$ 軸まわりの回転角、 $\zeta_\beta = \beta$ 軸まわりの回転角

$M_\alpha = \alpha$ 軸まわりの曲げモーメント、 $M_\beta = \beta$ 軸まわりの捩りモーメント、 $V_r = r$ 軸方向のせん断力

式(9)に式(8)を代入し演算の上整理すれば円梁の諸変位および諸断面力が次のごとく与えられる

$$\left. \begin{aligned} r\zeta_\alpha &= C_1 + (C_3 + C_4 + C_6\theta) \cos \theta - (C_5 - C_4 + C_6\theta) \sin \theta + \frac{r^4}{EI_x} \sum_{n=1}^{\infty} \frac{R_n R_n + 1/\mu}{R_n(R_n R_n + 1)^2} \gamma_n \xi_n(\theta) \\ r\zeta_\beta &= -(C_3 + C_4\theta) \sin \theta - (C_5 + C_6\theta) \cos \theta - \frac{2}{1+\mu} (C_4 \sin \theta - C_6 \cos \theta) - (1 + \frac{1}{\mu}) \frac{r^4}{EI_x} \sum_{n=1}^{\infty} \frac{\gamma_n}{(R_n R_n + 1)^2} \xi_n(\theta) \\ \frac{r^2}{EI_x} M_\alpha &= \frac{2\mu}{1+\mu} (-C_4 \cos \theta + C_6 \sin \theta) - \frac{r^4}{EI_x} \sum_{n=1}^{\infty} \frac{\gamma_n}{R_n(R_n R_n + 1)} \xi_n(\theta), & \frac{r^3}{EI_x} V_r &= \mu C_2 - \frac{r^4}{EI_x} \sum_{n=1}^{\infty} \frac{\gamma_n}{R_n} \xi_n(\theta) \\ \frac{r^2}{EI_x} M_\beta &= -\mu C_1 + \frac{2\mu}{1+\mu} (C_4 \sin \theta + C_6 \cos \theta) + \frac{r^4}{EI_x} \sum_{n=1}^{\infty} \frac{\gamma_n}{R_n(R_n R_n + 1)} \xi_n(\theta) \end{aligned} \right\} \quad (10)$$

(3) 両端単純支持円梁 式(8)および式(10)の種々の境界条件をもつ円梁について計算可能であるが、特に次節の連続円梁解法の基礎となる両端単純支持円梁の解析を行えば次のとおりである。直交関数系 $\xi_n(\theta)$ として次の正弦三角関数を用いる。

$$\xi_n(\theta) = \sin \theta_n \theta \quad (\text{こゝに } \theta_n = n\pi/\theta) \quad (11)$$

このとき、式(6)の $\gamma_n(\theta)$ および $R_n, R_n'$ は次のごとく与えられる。

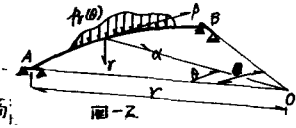
$$\gamma_n(\theta) = \cos \theta_n \theta, \quad R_n = \theta_n, \quad R_n' = -\theta_n \quad (12)$$

また、式(7)は式(4)より次のごとく表わす。

$$\rho_1(\theta) = \sum_{n=1}^{\infty} \gamma_n \sin \theta_n \theta \quad (\text{こゝに } \gamma_n = \int_0^{\theta} \rho_1(\theta) \sin \theta_n \theta d\theta) \quad (13)$$

さて、本題の円梁に関する境界条件は次のとおりである(図-2参照)

$$\theta=0, \theta=\theta \quad w=0, \quad M_\alpha=0, \quad \zeta_\beta=0 \quad (\text{捩りに対しては図1を参照}) \quad (14)$$

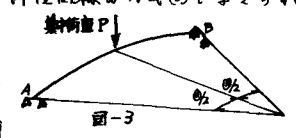


式(11)の $\xi_n(\theta)$ を用いる場合には、式(8)の特殊解の頂が式(10)の境界条件を満足する中、積分定数 $C_1 \sim C_6$ が11すべし $\theta=0$ となり、本題の円梁に関する弾性曲線 $w$ は式(8)のごとく与えられる。

$$w = \frac{r^4}{EI_x} \sum_{n=1}^{\infty} \frac{\theta_n^2 + 1/\mu}{\theta_n(\theta_n^2 - 1)^2} \gamma_n \sin \theta_n \theta \quad (15)$$

また、式(10)より諸変位および諸断面力を求めるには式(11)と式(12)とを用いる。

$$\left. \begin{aligned} \zeta_\alpha &= \frac{r^3}{EI_x} \sum_{n=1}^{\infty} \frac{\theta_n^2 + 1/\mu}{\theta_n(\theta_n^2 - 1)^2} \gamma_n \cos \theta_n \theta, & \zeta_\beta &= -\frac{r^3}{EI_x} \sum_{n=1}^{\infty} \frac{1 + 1/\mu}{(\theta_n^2 - 1)^2} \gamma_n \sin \theta_n \theta \\ M_\alpha &= r^2 \sum_{n=1}^{\infty} \frac{\gamma_n}{\theta_n^2 - 1} \sin \theta_n \theta, & M_\beta &= r^2 \sum_{n=1}^{\infty} \frac{\gamma_n}{\theta_n(\theta_n^2 - 1)} \cos \theta_n \theta, & V_r &= r \sum_{n=1}^{\infty} \frac{\gamma_n}{\theta_n} \cos \theta_n \theta \end{aligned} \right\} \quad (16)$$



(計算例) 図-3に示すごとく、スパン中央に集中荷重 $P$ が作用する場合には、各断面のたわみ $w$ 、曲げモーメント $M_\alpha$ および捩りモーメント $M_\beta$ を計算すれば図-4に示す結果となる。

### 3. 連続円梁の解法

1) 解法 図-5に示すごとく、捩りに対しては固定、曲げに對してはジョの両端 $A, B$ をたつ連続円梁が中間支 $1, 2, \dots, i, \dots, m$ で支えられるものとし、これら中間支 $i$ には垂直反力のみが生ずるものとす(支 $A, B$ 同様反力捩りモーメントが生ずる場合は後日反力曲げモーメントと共に円梁

ラメの解法において報告の予定), さらに, 基礎AOに於ける各中間支梁の南角を $\theta_1, \theta_2, \dots, \theta_m, \theta_{m+1}$ とす. 連続円梁に任意垂直荷重 $P$ が作用するとき, 各中間支梁に生ずる反力を $R_1, R_2, \dots, R_m$ とす(図), これら支梁反力の直交函数系 $\sin n\theta_1$ による展開式は次式で与えられる<sup>(2)</sup>.

$$R_i = \sum_{n=1}^{\infty} A_n \sin n\theta_1 \quad (\text{ここで, } i=1, 2, \dots, m, A_n = -\frac{2R_i}{r\theta_n} \sin n\theta_1) \quad (17)$$

荷重 $P$ と同様に各中間支梁反力を荷重とみなせば, 連続円梁は一種の両端単純支持円梁とみなすことができる. これに作用する全荷重 $P$ の式(13)と式(17)との係数を与えられる式のとおりである.

$$P_0(\theta) = \sum_{n=1}^{\infty} r_n \sin n\theta_1 \quad (\text{ここで, } r_n = r_n - \frac{2}{r\theta_n} \sum_{i=1}^m R_i \sin n\theta_1) \quad (18)$$

したがって, 連続円梁の弾性曲線 $w$ の式(15)の $r_n$ を式(18)の $r_n$ で置き換えて次式で与えられることとなる.

$$w = \frac{r^4}{EI_n} \sum_{n=1}^{\infty} K_n r_n \sin n\theta_1 \quad (\text{ここで, } K_n = \frac{\theta_n^2 + 1/r_n}{\theta_n^2 (\theta_n^2 - 1)^2}) \quad (19)$$

同様に, 連続円梁の $w$ 以外の諸変位および諸断面力は式(16)において $r_n$ の代わりに式(18)の $r_n$ を用いることにより直ちに求まり次の諸式となる.

$$\left. \begin{aligned} z_n &= \frac{r^3}{EI_n} \sum_{n=1}^{\infty} \frac{\theta_n^2 + 1/r_n}{\theta_n^2 (\theta_n^2 - 1)^2} r_n \cos n\theta_1 \\ z_p &= -\frac{r^3}{EI_n} \sum_{n=1}^{\infty} \frac{1 + 1/r_n}{\theta_n^2 (\theta_n^2 - 1)^2} r_n \sin n\theta_1 \\ M_n &= r^2 \sum_{n=1}^{\infty} \frac{r_n}{\theta_n^2 - 1} \sin n\theta_1, \quad M_p = r^2 \sum_{n=1}^{\infty} \frac{r_n}{\theta_n (\theta_n^2 - 1)} \cos n\theta_1 \\ V_r &= r \sum_{n=1}^{\infty} (r_n / \theta_n) \cos n\theta_1 \end{aligned} \right\} (20)$$

式(19), (20)において,  $R_i$ が何らかの方法により明らかになれば, 連続円梁の諸変位および諸断面力の全てが判明することとなるが,  $R_i$ については次のごとく求められる. したがって, 各中間支梁の垂直変位 $F d_1, d_2, \dots, d_i, \dots, d_m$ (下向きを正とす)とすれば, 式(19)のたわみ $w$ が各中間支梁において $d_1, d_2, \dots, d_i, \dots, d_m$ に等しくなればよいことより, 次の変形条件式が与えられる.

$$\sum_{n=1}^{\infty} R_n D_n = \frac{\theta r}{r} (D_i - F d_i) \quad (i=1, 2, \dots, m) \quad (21)$$

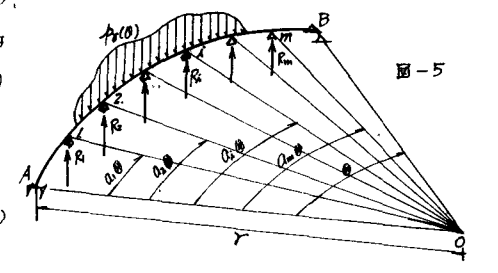
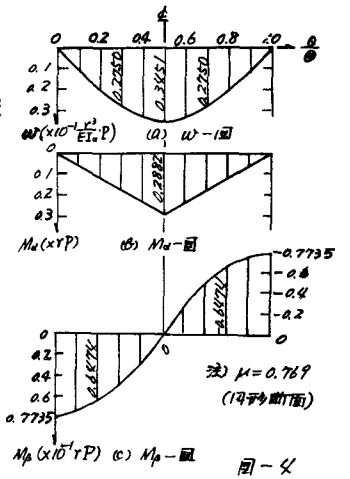
$$\text{ここで, } D_n = \sum_{i=1}^m K_n \sin n\theta_{1i} \sin n\theta_{1i}, \quad D_i = \sum_{n=1}^{\infty} K_n r_n \sin n\theta_{1i}, \quad F = EI_n / r^4$$

式(21)は中間支梁 $i$ に於ける支梁反力の数と同数の連立方程式となるが, これを解けば未知予定反力であるところの各支梁反力が求まることとなり, したがって, 図-5に示す連続円梁が解けることとなる. したがって, 式(21)における係数 $D_n$ は円梁の南角および中間支梁の位置により定まる定数であるからこれを形状定数と称し, また定数 $D_i$ は与えられた荷重条件より定まるものであるからこれを荷重係数と称することとすれば, これら形状定数および荷重係数のごとき内容となる.

$D_n =$  図-5に示す連続円梁から全ての中間支梁を除いた両端単純支持円梁(基本構)の支点に単位集中荷重 $P$ が加わるとき, 基本構の支点が $P$ の方向に起す変位 $d_i$ を $EI_n / r^4$ 倍したものである.

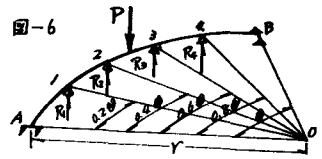
$D_i =$  基本構に求めらるる $D_n$ の荷重状態と同じ荷重が加わるとき, 基本構の支点が下向きに起す変位 $d_i$ を $F$ 倍したものである.

(2) 計算例 図-6に示すごとく, 5径間連続円梁に集中荷重 $P$ が作用する場合の解法を述べ



7次のとおりである。いま、各中間支梁の垂直変位を  $w$  とし、これを  $0$  とすれば、式(21)の連立方程式は7次の内容と

$$\begin{pmatrix} D_{11} & D_{12} & D_{13} & D_{14} \\ D_{21} & D_{22} & D_{23} & D_{24} \\ D_{31} & D_{32} & D_{33} & D_{34} \\ D_{41} & D_{42} & D_{43} & D_{44} \end{pmatrix} \cdot \begin{pmatrix} R_1 \\ R_2 \\ R_3 \\ R_4 \end{pmatrix} = \frac{qY}{2} \begin{pmatrix} D_1 \\ D_2 \\ D_3 \\ D_4 \end{pmatrix} \quad (22)$$



連続円梁の扇角を  $\theta = \pi/3$  とし、また  $\mu = 0.6$

とすれば、式(22)の各形定数  $D_{ik}$  および荷重項の代表一に示す諸値となり、これを代入して式(22)の連立方程式を解けば、中間支梁反力  $R_1 \sim R_4$  が次のごとく求まる。

i \ k	形定数 $D_{ik}$				荷重項 $D_i$ ( $\times 10^4$ )
	1	2	3	4	
1	.73451m <sup>2</sup>	.10708m <sup>-1</sup>	.98152m <sup>-2</sup>	.57819m <sup>-2</sup>	.20506m <sup>-1</sup>
2	.10708m <sup>-1</sup>	.7160m <sup>-1</sup>	.16460m <sup>-1</sup>	.98152m <sup>-2</sup>	.33905m <sup>-1</sup>
3	.98152m <sup>-2</sup>	.16460m <sup>-1</sup>	.17160m <sup>-1</sup>	.10708m <sup>-1</sup>	.33905m <sup>-1</sup>
4	.57819m <sup>-2</sup>	.98152m <sup>-2</sup>	.10708m <sup>-1</sup>	.73451m <sup>-2</sup>	.20506m <sup>-1</sup>

表-1  $D_{ik}$  および  $D_i$  の値

$$R_1 = R_4 = -0.11951 P, \quad R_2 = R_3 = 0.59944 P \quad (23)$$

式(23)を式(18)の16式に代入し、その結果を式(19)、(20)に代入すれば連続円梁の各断面に於ける諸変位および諸断面力が求まることとなるが、特にたわみ  $w$  についても示せば次式のとおりである。

$$w = \frac{qY^3 P}{\pi E I \mu} \sum_{n=0}^{\infty} K_n \{ \sin \frac{n\pi}{2} + 0.11951 (\sin 0.2n\pi + \sin 0.8n\pi) - 0.59944 (\sin 0.4n\pi + \sin 0.6n\pi) \} \sin 3n\theta \quad (24)$$

この各値について式(24)を計算すれば図-7に示す結果となる。

#### 4. 結語

無限級数式によつて円梁および連続円梁を解く本法は、本来の目的として7自由度に還元することから、円梁と扇形板とで構成される構造物の解法手法の基礎として展開したものであるが、本論文の題目としてかゝる連続円梁の解法に限定して径径の代数函数による円梁理論と比較すれば次のごとき特徴を利点として認めらる。

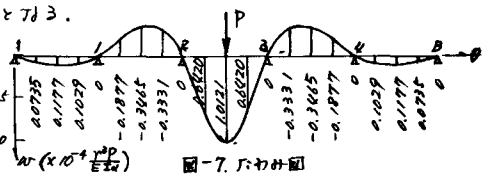


図-7. たわみ曲線

(1) 本法にしたがえば、連続円梁を解くことは式(21)の7次連立方程式を解くだけの簡単な内容となり、先に著者が発表<sup>1)</sup>した直線部材からなる連続円梁の場合に比較して構造物に複雑であるにもかかわらず、その計算労力は全く同一である。

(2) 径径のたわみ法では各節点の変位を媒介として、予解定力のある各中間支梁反力を算出せねばならぬが、本法は中間支梁反力を直接求める。

(3) この法とあわせて、連続円梁上の任意点におけるたわみ式(19)によらず式(21)より簡単に求めることが可能。

(4) 本法の応用拡張により連続円梁の各種影響線も簡単に求めることができ、しかも影響線も一つの数式にて表わすことが極めて便利である。

本研究には文部省科学研究費の補助を受けた。記して謝意を表す。

文献 (1) 岡本齊三・軸線を含む面に垂直に荷重を受ける円形曲り梁の研究。土木学会誌、第29巻第3号、昭和19年3月  
 (2) 山崎徳也・橋本武 フリー工数表による連続円梁およびラメンの解法。九州工数報第3巻第3号、昭和4年10月。